

**МЕХАНИКА  
ТВЕРДОГО ТЕЛА**

**№ 4 • 2005**

**УДК 539.376**

**© 2005 г. К.И. РОМАНОВ**

**ИССЛЕДОВАНИЕ ВЫПУЧИВАНИЯ СТЕРЖНЯ ПРЯМОУГОЛЬНОГО  
ПОПЕРЕЧНОГО СЕЧЕНИЯ В УСЛОВИЯХ ПОЛЗУЧЕСТИ**

В ряде работ [1–4] для решения задач устойчивости и выпучивания тонкостенных элементов конструкций в условиях ползучести применялись различные подходы. В задачах выпучивания стержней приближенные аналитические решения могут быть получены на основе замены поперечного сечения идеальным двутавром [4] или с помощью теоремы Келледайна–Друкера [5]. В [6] была введена новая аппроксимация дополнительного рассеяния стержня, позволяющая за счет параметра  $\beta$ , зависящего от формы поперечного сечения, получить значение критического времени существенно меньшее, чем дает решение с  $\beta = 0$ .

Ниже получено решение задачи выпучивания стержня с прямоугольным поперечным сечением, не связанное с применением схемы идеального двутавра или теоремы Келледайна–Друкера. В результате показано, что с этим решением лучше других согласуется критическое время, определенное на основе теоремы Келледайна–Друкера с параметром  $\beta \neq 0$ .

Постановка задачи сводится к определению критического времени шарнирно закрепленного, сжатого по концам стержня (фиг. 1), имеющего длину  $l$ . Сжимающая сила  $P$  является неизменной во времени. Предполагается, что в начальный момент времени  $t = 0$  среднее сечение стержня имеет прогиб  $A_0$ , нарастающий в процессе выпучивания. Поперечное сечение – прямоугольник с основанием  $b$  и высотой  $H$ . Ось симметрии поперечного сечения, параллельная его высоте, лежит в плоскости изгибающего момента.

Уравнение состояния материала примем в виде

$$\zeta = k\sigma^n \quad (1)$$

где  $\zeta$  – скорость деформаций,  $\sigma$  – напряжение,  $k$  и  $n$  – постоянные материала при данной температуре.

Решение задачи может быть получено на основе гипотезы плоских сечений (фиг. 2):

$$\zeta = -\zeta_0 + \dot{\kappa}x \quad (2)$$

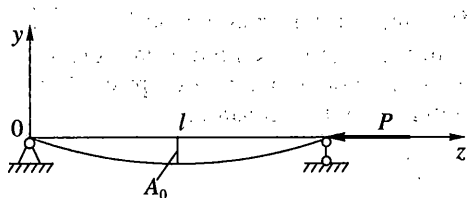
где  $\zeta_0$  и  $\dot{\kappa}$  – скорость деформации и скорость изменения кривизны оси стержня,  $x$  – координата, отсчитываемая от срединной плоскости,  $x' = \zeta_0/\dot{\kappa}$ .

Уравнения (1) и (2) определяют напряжения (растягивающие – положительные):

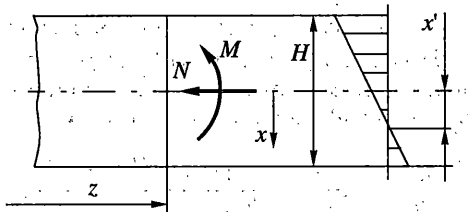
$$\sigma = -\alpha(-\zeta)^m = -\alpha(\zeta_0 - \dot{\kappa}x)^m \quad \text{при } -H/2 \leq x \leq x'$$

$$\sigma = \alpha\zeta^m = \alpha(-\zeta_0 + \dot{\kappa}x)^m \quad \text{при } x' < x \leq H/2$$

$$\alpha = (1/k)^m, \quad m = 1/n$$



Фиг. 1



Фиг. 2

Соответствующие внутренние силовые факторы имеют вид

$$N = \int_F \sigma dF = \frac{\alpha b}{m+1} \dot{\kappa}^m \left(\frac{H}{2}\right)^{m+1} f_1(q) \quad (3)$$

$$M = \int_F \sigma x dF = \alpha b \dot{\kappa}^m \left(\frac{H}{2}\right)^{m+2} f_2(q) \quad (4)$$

$$f_1(q) = (1+q)^{m+1} - (1-q)^{m+1}$$

$$\begin{aligned} f_2(q) &= (1+q)^{m+2}/(m+2) + (1-q)^{m+2}/(m+2) - \\ &- q(1+q)^{m+1}/(m+1) + q(1-q)^{m+1}/(m+1) \end{aligned}$$

$$q = 2\zeta_0/(H\dot{\kappa}), \quad F = bH$$

где  $F$  – площадь поперечного сечения.

Особенностью задачи продольного изгиба стержней в условиях ползучести является зависимость прогиба от времени и координаты  $z$ . Поэтому точное решение может быть получено только численными методами [7].

Для получения приближенного решения удастся ворим уравнения равновесия, в соответствии с методом коллокации, в одном среднем сечении (фиг. 1):

$$N = P \quad (5)$$

$$M = -PA \quad (6)$$

где  $A$  – амплитуда изогнутой оси, зависящая от времени.

Уравнения (5) и (6) справедливы при любых перемещениях. Также при произвольных перемещениях вследствие равенства  $\partial u / \partial z = 0$  при  $z = l/2$  в среднем сечении точно выполняется равенство  $\dot{\kappa} = \partial^2 \bar{y} / \partial z^2$ , где  $\bar{y}$  – прогиб.

Поделим уравнения (6) и (5) друг на друга. Тогда с учетом выражений (3) и (4) получим

$$H(m+1)f_2(q_*)/[2f_1(q_*)] = -A \quad (7)$$

$$q_* = 2\zeta_{0*}/(H\dot{\kappa}_*)$$

Звездочкой отмечены параметры в среднем сечении.

Уравнение (5) с учетом (3) принимает вид

$$\frac{\alpha b}{m+1} \dot{\kappa}_*^m \left(\frac{H}{2}\right)^{m+1} f_1(q_*) = P \quad (8)$$

Зададимся функцией прогибов в виде  $y = -A(t)\sin(\pi z/l)$ . Тогда получим  $\dot{y}_* = \pi^2 A/l^2$ . Примем в дальнейшем  $l = \text{const}$ , что равносильно предположению о малости перемещений. В этом случае уравнение (8) может быть представлено в форме обыкновенного дифференциального уравнения для амплитуды изогнутой оси.

$$\frac{dA}{dt} = \frac{2^{(m+1)/m} (m+1)^{1/m} l^2 P^{1/m}}{\pi^2 H^{(m+1)/m} \alpha^{1/m} b^{1/m} [f_1(q_*)]^{1/m}}$$

Таким образом, критическое время определяется путем вычисления интеграла

$$t_* = \frac{\pi^2 H^{(m+1)/m} \alpha^{1/m} b^{1/m}}{2^{m+1} (m+1)^{1/m} l^2 P^{1/m}} \int_{A_0}^{\infty} [f_1(q_*)]^{1/m} dA$$

где в подынтегральном выражении параметр  $q_*$  связан с текущим значением амплитуды  $A$  соотношением (7).

В качестве примера были выполнены вычисления со следующими исходными данными:  $n = 3$ ,  $A_0 = 0.1$  Н. В результате критическое время оказалось равным  $t_* = 0.531 b^3/H^5/(kP^3 l^2)$ .

Интересно, что это значение практически совпадает с критическим временем, определенным в [6] с помощью теоремы Келледайна–Друкера с параметром  $\beta$  в сочетании с методом Бубнова–Галеркина–Канторовича.

Решение, основанное на замене поперечного сечения идеальным двутавром, может быть получено по методу коллокации аналогично тому, как это сделано в [8] с помощью метода Бубнова–Галеркина–Канторовича. Основное уравнение имеет вид [8]:

$$\frac{\partial^2 \ddot{y}}{\partial z^2} + \frac{kP^n}{2J_n^n} [(y+h)^{n-1} - |h-y|^{n-1}(h-y)] = 0$$

$$h = (J_n/F)^{n/(n+1)}$$

где  $F$  – площадь поперечного сечения стержня,  $J_n$  – обобщенный момент инерции сечения.

Удовлетворив основное уравнение в среднем сечении  $z = l/2$ , в случае  $n = 3$  будем иметь

$$t_* = \frac{\pi^2 J_{nx}^3}{6kP^3 l^2 h^2} \ln \frac{3h^2 + A_0^2}{A_0^2}$$

При  $A_0 = 0.1$  Н критическое время составляет  $t_* = 0.356 b^3 H^5 / (kP^3 l^2)$ . Это значение сравнительно мало отличается от критического времени, найденного по методу Бубнова–Галеркина–Канторовича [6].

Применение теоремы Келледайна–Друкера приводит к основному уравнению для скорости прогиба [6]:

$$\frac{\partial^2 \ddot{y}}{\partial z^2} = kFa \left[ \left( \frac{N}{F} \right)^2 + (Ma)^2 + \beta \left( 1 - \frac{1}{n} \right) \frac{N}{F} Ma \right]^{(n-1)/2} \times$$

$$\times \left[ Ma + \frac{1}{2} \beta \left( 1 - \frac{1}{n} \right) \frac{N}{F} \right], \quad a = F^{-1/(n+1)} J_n^{-n/(n+1)}$$

где  $\beta$  – параметр, зависящий от формы поперечного сечения; для прямоугольника  $\beta = 0.625$ .

Приближенное интегрирование этого уравнения, по методу коллокации в среднем сечении, дает возможность найти критическое время. В случае  $n = 3$  и  $\beta = 0$ :

$$t_* = \frac{\pi^2 F^{3/2} J_n^{3/2}}{2kP^3 l^2} \ln \frac{J_n^{3/2} F^{-3/2} + A_0^2}{A_0^2}$$

При  $A_0 = 0.1$  Н критическое время составляет  $t_* = 0.717 b^3 H^5 / (kP^3 l^2)$ . Это значение также не сильно отличается от критического времени, найденного по методу Бубнова–Галеркина–Канторовича [6].

Выполненные расчеты приводят к выводу о том, что схема идеального двутавра дает нижнюю границу критического времени, а теорема Келледайна–Друкера с параметром  $\beta = 0$  – верхнюю. В части, касающейся теоремы Келледайна–Друкера с параметром  $\beta = 0$ , аналогичный вывод был сделан в [9].

Критическое время, определенное на основе аппроксимации дополнительного рассеяния стержня с параметром  $\beta = 0.625$  при  $n = 3$  равно

$$t_* = \frac{\pi^2 b^3 H^5}{kP^3 l^2} \int_{\chi_0}^{\infty} \frac{d\chi}{204\chi^3 + 33.8\chi^2 + 15.5\chi + 0.788}$$

$$\chi = A/H \quad (\chi_0 = A_0/H)$$

При  $\chi_0 = 0.1$  критическое время  $t_* = 0.48 b^3 H^5 / (kP^3 l^2)$

Отличие последнего приближенного решения от решения, основанного на точных функциях внутренних силовых факторов (3) и (4), составляет 10%, что является допустимым при определении долговечности конструкций. Таким образом, на примере стержня прямоугольного поперечного сечения показано, что применение улучшенной аппроксимации дополнительного рассеяния приводит к существенному уточнению приближенного метода определения критического времени сжатых стержней.

Полученным результатам о том, что схема идеального двутавра дает меньшее значение критического времени по сравнению с решением, основанным на теореме Келледайна–Друкера, может быть дано доказательство с помощью энергетического рассмотрения.

Именно, мощность, рассеиваемая в процессе ползучести элементом стержня длиной  $dz$ , вычисляется по формуле

$$dL = (M \dot{\kappa} + N \zeta_0) dz$$

Соответствующее данной мощности дополнительное рассеяние [10] равно  $d\tilde{\Lambda} = dL/(n+1)$ .

Функция  $\Omega_n$ , используемая в теореме Келледайна–Друкера [6], связана с  $d\tilde{\Lambda}$  соотношением [11]:

$$d\tilde{\Lambda} = \frac{kF dz}{n+1} \Omega_n^{n+1}$$

Следовательно

$$\Omega_n^{n+1} = \frac{dz}{kF dz} = M \dot{\kappa} + N \zeta_0 \quad (9)$$

Применим теперь для вычисления правой части соотношения (9) формулы, характеризующие схему идеального двутавра [8]:

$$\zeta_0 = \frac{k}{2F^n h^n} [|Nh + M|^{n-1} (Nh + M) + |Nh - M|^{n-1} (Nh - M)]$$

$$\dot{\kappa} = \frac{k}{2F^nh^{n+1}}[|Nh + M|^{n-1}(Nh + M) - |Nh - M|^{n-1}(Nh - M)]$$

Тогда получим ( $n$  – нечетное):

$$\Omega_n^{n+1} = \frac{1}{2} \left[ \left( \frac{N}{h} + \frac{M}{Fh} \right)^{n+1} + \left( \frac{N}{h} - \frac{M}{Fh} \right)^{n+1} \right]$$

Это выражение можно рассматривать как новый вариант аппроксимации дополнительного рассеяния на основе схемы идеального двутавра для любого поперечного сечения.

В системе координат  $N$ - $M$  уравнение кривой

$$\Omega_n^2 = \sigma_*^2$$

$$\Omega_n^2 = \left\{ \frac{1}{2} \left[ \left( \frac{N}{F} + \frac{M}{Fh} \right)^{n+1} + \left( \frac{N}{F} - \frac{M}{Fh} \right)^{n+1} \right] \right\}^{2/(n+1)} \quad (10)$$

где  $\sigma_*$  – пороговое напряжение, представляет собой серию вложенных овалов для различных значений  $n$ .

Функция (10) построена таким образом, что при  $n = 1$  она приводит к точному равенству  $\Omega_n = \Omega_1$ , а в случае  $N = 0$  эта функция совпадает с  $\Omega_n = MF^{-1/(n+1)} J_n^{-n/(n+1)}$ , являющейся точной  $\Omega_n$  при чистом изгибе.

При  $n \rightarrow \infty$  уравнение (10) дает связь между предельными нагрузками в форме  $(N/N^0)^2 + (M/M^0)^2 = 1$

совпадающей с соответствующей аппроксимацией в случае  $\beta = 0$  по теореме Келледайна–Друкера [6].

Сопоставим теперь в системе координат  $N$ - $M$  кривые  $\Omega_n^2 = \sigma_*^2$ , получаемые по различным аппроксимациям дополнительного рассеяния.

По уравнению (10) для  $n = 3$ :

$$\left( \frac{N}{N^0} \right)^4 + 6 \left( \frac{N}{N^0} \right)^2 \left( \frac{M}{1.06M^0} \right)^2 + \left( \frac{M}{1.06M^0} \right)^4 = 1$$

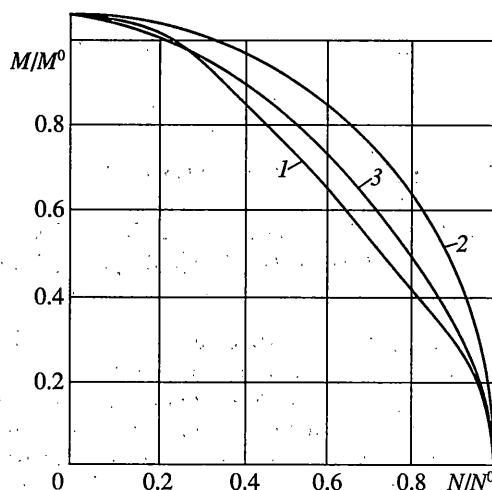
определяем кривую 1 на фиг. 3.

Аналогичные уравнения по теореме Келледайна–Друкера [6] при  $\beta = 0$  (кривая 2) и при  $\beta = 0.625$  (кривая 3) имеют вид соответственно

$$\left( \frac{N}{N^0} \right)^2 + \left( \frac{M}{1.06M^0} \right)^2 = 1$$

$$\left( \frac{N}{N^0} \right)^2 + 0.89 \left( \frac{M}{M^0} \right)^2 + 0.393 \frac{N}{N^0} \frac{M}{M^0} = 1$$

Положение кривых на фиг. 3 и соответствующие им приведенные выше значения  $t_*$  свидетельствуют о том, что более выпуклые кривые в системе координат  $N$ - $M$  порождаются такой приближенной аппроксимацией  $\Omega_n$ , по которой  $t_*$  оказывается больше по сравнению с аппроксимациями  $\Omega_n$ , дающими менее выпуклые, т.е. вложенные, кривые в указанной системе координат. Таким образом оказывается, что схема идеально-



Фиг. 3

го двутавра приводит к меньшему значению  $t_*$  по сравнению с теоремой Келледайна–Друкера.

## СПИСОК ЛИТЕРАТУРЫ

1. Работнов Ю.Н., Шестериков С.А. Устойчивость стержней и пластиночек в условиях ползучести // ПММ. 1957. Т. 21. Вып. 3. С. 406–412.
2. Терегулов И.Г. Изгиб и устойчивость тонких пластин и оболочек при ползучести. М.: Наука, 1969. 206 с.
3. Куришин Л.М. О постановках задачи устойчивости в условиях ползучести (обзор) // Проблемы теории пластичности и ползучести. М.: Мир, 1979. С. 246–302.
4. Хофф Н. Продольный изгиб и устойчивость. М.: Изд-во иностр. лит., 1955. 155 с.
5. Calladine C.R., Drucker D.C. Nesting surfaces of constant rate of energy dissipation in steep // Quart. of Appl. Maths. 1962. V. 20. № 1. P. 79–84.
6. Романов К.И. Исследование продольного изгиба стержня в условиях ползучести на основе теоремы Келледайна–Друкера // Изв. РАН. МТТ. 1999. № 4. С. 157–161.
7. Романов К.И., Чернецов А.А. Анализ продольного изгиба стержня в условиях ползучести // Машиноведение. 1988. № 4. С. 33–35.
8. Романов К.И. Продольный изгиб нелинейно-вязких стержней // Расчеты на прочность. М.: Машиностроение, 1993. Вып. 33. С. 139–151.
9. Бойл Дж., Спенс Дж. Анализ напряжений в конструкциях при ползучести. М.: Мир, 1986. 360 с.
10. Качанов Л.М. Теория ползучести. М.: Физматгиз, 1960. 455 с.
11. Романов К.И. Применение теоремы Келледайна–Друкера к решению задач продольного изгиба стержней в условиях ползучести // Актуальные проблемы механики деформируемого твердого тела. Алма-Ата: Гылым, 1992. Ч. 3. С. 48–57.

Москва

Поступила в редакцию  
16.06.2003